
Хмельник С. И.

Математическая модель шаровой молнии

Аннотация

На основе уравнений Максвелла и представления об электропроводности тела шаровой молнии строится математическая модель шаровой молнии, показывается структура электромагнитного поля и электротоков в ней. Далее показывается (как следствие этой модели), что в шаровой молнии может циркулировать поток электромагнитной энергии и таким образом может сохраняться энергия, полученная шаровой молнией при ее возникновении. Кратко рассматриваются также устойчивость, свечение, заряд, время существования, механизм образования, физическое моделирование шаровой молнии.

Оглавление

1. Введение
 2. Решение уравнений Максвелла в сферических координатах
 3. Электротоки
 4. Поток энергии
 5. Об устойчивости шаровой молнии
 6. О свечении шаровой молнии
 7. О времени существования шаровой молнии
 8. О возможном механизме образования шаровой молнии
 9. О заряде шаровой молнии
 10. О физическом моделировании шаровой молнии
- Приложение 1. Уточнение решения
Приложение 2. "Кубическая солния"
Литература

1. Введение

Высказанные гипотезы о природе шаровой молнии неприемлемы, так как они противоречат закону сохранения энергии. Это происходит потому, что свечение шаровой молнии обычно относят за счет энергии, выделяемой при каком-либо молекулярном или химическом превращении, и таким образом предполагают, что источник энергии, за счет которого светится шаровая молния, находится в ней самой.

Капица П.А. 1955 [1]

Это утверждение (насколько известно автору) справедливо и сегодня. Оно усиливается еще и тем, что по современным оценкам, типичная шаровая молния содержит десятки килоджоулей [2], высвобождающихся при ее взрыве.

Общепризнано, что шаровая молния как-то связана с электромагнитными явлениями, однако нет строгого описания этих процессов.

Ниже на основе уравнений Максвелла и представления об электропроводности тела шаровой молнии строится математическая модель шаровой молнии, которая позволяет объяснить многие свойства шаровой молнии.

2. Решение уравнений Максвелла в сферических координатах

На рис. 1 показана система сферических координат (ρ, θ, φ) , а в табл. 1 (столбец 3) приведены выражения для ротора и дивергенции вектора \mathbf{E} в этих координатах. В дальнейшем формулы, представленные в подобных таблицах будем обозначать как (Г1.3).

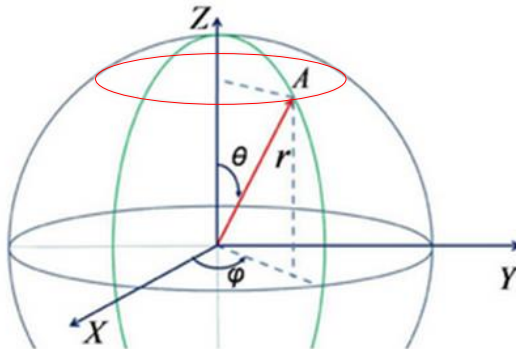


Рис. 1.

Таблица 1.

1	2	3	4	5
1	$\text{rot}_\rho(E)$	$\frac{E_\varphi}{\rho g(\theta)} + \frac{\partial E_\varphi}{\rho \partial \theta} - \frac{\partial E_\theta}{\rho \sin(\theta) \partial \varphi}$	0	0
2	$\text{rot}_\theta(E)$	$\frac{\partial E_\rho}{\rho \sin(\theta) \partial \varphi} - \frac{E_\varphi}{\rho} - \frac{\partial E_\varphi}{\partial \rho}$	$-\frac{E_\varphi}{\rho} - \frac{\partial E_\varphi}{\partial \rho}$	$-\frac{\partial E_\varphi}{\partial \rho}$
3	$\text{rot}_\varphi(E)$	$\frac{E_\theta}{\rho} + \frac{\partial E_\theta}{\partial \rho} - \frac{\partial E_\rho}{\rho \partial \varphi}$	$\frac{E_\theta}{\rho} + \frac{\partial E_\theta}{\partial \rho}$	$\frac{\partial E_\theta}{\partial \rho}$
4	$\text{div}(E)$	$\frac{E_\rho}{\rho} + \frac{\partial E_\rho}{\partial \rho} + \frac{E_\theta}{\rho g(\theta)} + \frac{\partial E_\theta}{\rho \partial \theta} + \frac{\partial E_\varphi}{\rho \sin(\theta) \partial \varphi}$	0	0

Уравнения Максвелла в сферических координатах при отсутствии зарядов имеют вид (Г2.2).

Таблица 2.

1	2	3
1.	$\text{rot}_\rho H - \varepsilon \frac{\partial E_\rho}{\partial t} - J_\rho = 0$	$0=0$
2.	$\text{rot}_\theta H - \varepsilon \frac{\partial E_\theta}{\partial t} - J_\theta = 0$	$-\frac{\partial H_\varphi}{\partial \rho} - \varepsilon \frac{\partial E_\theta}{\partial t} - J_\theta = 0$
3.	$\text{rot}_\varphi H - \varepsilon \frac{\partial E_\varphi}{\partial t} - J_\varphi = 0$	$\frac{\partial H_\theta}{\partial \rho} - \varepsilon \frac{\partial E_\varphi}{\partial t} - J_\varphi = 0$
4.	$\text{rot}_\rho E - \mu \frac{\partial H_\rho}{\partial t} = 0$	$0=0$
5.	$\text{rot}_\theta E - \mu \frac{\partial H_\theta}{\partial t} = 0$	$-\frac{\partial E_\varphi}{\partial \rho} - \mu \frac{\partial H_\theta}{\partial t} = 0$
6.	$\text{rot}_\varphi E - \mu \frac{\partial H_\varphi}{\partial t} = 0$	$\frac{\partial E_\theta}{\partial \rho} - \mu \frac{\partial H_\varphi}{\partial t} = 0$
7.	$\text{div}(E) = 0$	$0=0$
8.	$\text{div}(H) = 0$	$0=0$

Здесь

E - напряженность электрического поля,

H - напряженность магнитного поля,

J – плотности токов,

μ - абсолютная магнитная проницаемость,

ε - абсолютная диэлектрическая проницаемость.

Будем искать решение этих уравнений в виде следующих функций (Г3.2).

Таблица 3.

1	2	3
1	0	$E_\rho = 0$
2	$E_\theta = e_\theta \sin(\alpha\rho)\sin(\theta)\sin(\omega t)$	$E_\theta = e_\theta \sin(\alpha\rho)\sin(\theta)\sin(\omega t)$
3	$E_\varphi = e_\varphi \cos(\alpha\rho)\sin(\theta)\cos(\omega t)$	$E_\varphi = e_\varphi \cos(\alpha\rho)\sin(\theta)\cos(\omega t)$
4	$H_\rho = 0$	$H_\rho = 0$
5	$H_\theta = Z_\theta(\rho)\sin(\theta)\cos(\omega t)$	$H_\theta = h_\theta \sin(\alpha\rho)\sin(\theta)\cos(\omega t)$ $h_\theta = \frac{e_\varphi \alpha}{\mu\omega}$
6	$H_\varphi = Z_\varphi(\rho)\sin(\theta)\sin(\omega t)$	$H_\varphi = h_\varphi \cos(\alpha\rho)\sin(\theta)\sin(\omega t)$ $h_\varphi = \frac{e_\theta \alpha}{\mu\omega}$
7	$J_\rho = 0$	$J_\rho = 0$
8	$J_\theta = \Gamma_\theta(\rho)\sin(\theta)\sin(\omega t)$	$J_\theta = j_\theta \sin(\alpha\rho)\sin(\theta)\sin(\omega t)$ $j_\theta = e_\theta \left(\frac{\alpha^2}{\mu\omega} - \varepsilon\omega \right)$
9	$J_\varphi = \Gamma_\varphi(\rho)\sin(\theta)\cos(\omega t)$	$J_\varphi = j_\varphi \cos(\alpha\rho)\sin(\theta)\cos(\omega t)$ $j_\varphi = e_\varphi \left(\frac{\alpha^2}{\mu\omega} + \varepsilon\omega \right)$

Здесь функции $Z(\rho)$, $\Gamma(\rho)$ будут определены далее.

В формулах (Г1.3) часто встречается выражение

Оно обращается в 0, если

$$E(\theta) \equiv \sin(\theta). \quad (3)$$

Именно это условие принято в уравнениях (Г3.2). Из этого факта, а также из условия (Г3.2.1) и из того, что функции E, H, J не зависят от φ , следует, что выражения для ротора и дивергенции упрощаются и принимают вид (Г1.4).

Для решения уравнений Максвелла в первом приближении в выражениях вида $\frac{E_\theta}{\rho} + \frac{\partial E_\theta}{\partial \rho}$ можно отбросить первое слагаемое (более строгое решение будет рассмотрено в приложении 1). Тогда выражения для ротора и дивергенции еще более упрощаются и принимают вид (Г1.5).

Подставим выражения для ротора и дивергенции из (Г1.5) в уравнения Максвелла (Г2.2). Тогда получим уравнения, показанные в (Г2.3). Эти уравнения описывают в первом приближении нашу задачу.

Для определения неизвестных функций $Z(\rho), \Gamma(\rho)$ подставим в эти оставшиеся уравнения из (Г2.3) функции (Г3.2), выполним дифференцирование по времени и сократим на общие множители. Тогда получим

$$-\frac{\partial Z_\varphi(\rho)}{\partial \rho} - \varepsilon\omega e_\theta \sin(\alpha\rho) - \Gamma_\theta(\rho) = 0, \quad (4)$$

$$\frac{\partial Z_\theta(\rho)}{\partial \rho} + \varepsilon\omega e_\varphi \cos(\alpha\rho) - \Gamma_\varphi(\rho) = 0, \quad (5)$$

$$-e_\varphi \frac{\partial \cos(\alpha\rho)}{\partial \rho} - \mu\omega Z_\theta(\alpha\rho) = 0, \quad (6)$$

$$e_\theta \frac{\partial \sin(\alpha\rho)}{\partial \rho} - \mu\omega Z_\varphi(\alpha\rho) = 0, \quad (7)$$

Из (7) следует:

$$Z_\varphi(\rho) = \frac{e_\theta \alpha}{\mu\omega} \cos(\alpha\rho) \quad (8)$$

Из (4, 8) следует:

$$\Gamma_\theta(\rho) = -\frac{\partial Z_\varphi(\rho)}{\partial \rho} - \varepsilon\omega e_\theta \sin(\alpha\rho) = e_\theta \left(\frac{\alpha^2}{\mu\omega} - \varepsilon\omega \right) \sin(\alpha\rho) \quad (9)$$

Из (6) следует:

$$Z_\theta(\rho) = \frac{e_\varphi \alpha}{\mu\omega} \sin(\alpha\rho) \quad (10)$$

Из (5, 10) следует:

$$\Gamma_{\varphi}(\rho) = \frac{\partial Z_{\theta}(\rho)}{\partial \rho} + \varepsilon \omega e_{\varphi} \cos(\alpha \rho) = e_{\varphi} \left(\frac{\alpha^2}{\mu \omega} + \varepsilon \omega \right) \cos(\alpha \rho) \quad (11)$$

Функции (Г2.2) вместе с найденными из уравнений Максвелла функциями (8-11) являются решением задачи определения магнитных H_{θ}, H_{φ} напряженностей и токов J_{θ}, J_{φ} в токопроводящей сфере. Эти функции представлены в (Г2.3). Исходными данными при этом являются амплитуды e_{θ}, e_{φ} напряженностей E_{θ}, E_{φ} и константа α .

Напомним, что это решение получено при следующих предположениях, что сфера электропроводна и нейтральна (не имеет нескомпенсированных зарядов).

Это решение, очевидно, является не единственным. Его существование означает только, что в электропроводной и нейтральной сфере может существовать электромагнитная волна и циркулировать токи. Остался вопрос о том, почему она может оставаться замкнутой и не излучать.

3. Электроток

Здесь мы рассмотрим подробнее переменные токи J_{θ} (Г3.3.8) и J_{φ} (Г3.3.9) Они текут по окружностям сфер – см. рис. 2.

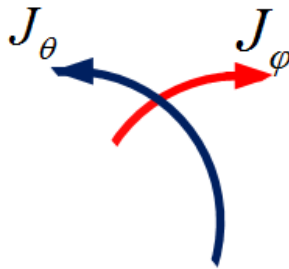


Рис. 2.

При этом в каждый момент времени направление тока по окружности зависит от радиуса ρ и это направление меняется в зависимости от знака $\sin(\alpha \rho)$ или $\cos(\alpha \rho)$. Это означает, что в сфере существуют сферические слои, в которых одноименные токи (J_{θ} или J_{φ}) в данный момент времени направлены в разные стороны. Радиальная толщина $\Delta \rho$ этих слоев определяется из

соотношения $\alpha \cdot \Delta\rho = \pi$. Есть, следовательно, сферы, по которым токи не текут.

Мгновенное значение одноименного тока на данном радиусе представляет собой стоячую волну. Для токов J_θ и J_φ стоячие волны имеют соответственно вид

$$\begin{aligned} J_\theta &= j_\theta \sin(\theta) [\sin(\alpha\rho)\sin(\omega t)] = \\ &= 0.5 j_\theta \sin(\theta) [\cos(\alpha\rho - \omega t) - \cos(\alpha\rho + \omega t)] \end{aligned} \quad (12)$$

$$\begin{aligned} J_\varphi &= j_\varphi \sin(\theta) [\cos(\alpha\rho)\cos(\omega t)] = \\ &= 0.5 j_\varphi \sin(\theta) [\cos(\alpha\rho - \omega t) + \cos(\alpha\rho + \omega t)] \end{aligned} \quad (13)$$

Кроме того, в сфере есть круговые конусы, по окружностям. Кроме того, в сфере есть круговые конусы, у которых на образующих мгновенные значения всегда равны нулю. Образующие этих конусов составляют такой угол θ , где $\sin(\theta) = 0$. На рис. 1 показано основание одного такого конуса.

4. Поток энергии

В каждой точке сферы существует два потока электромагнитной энергии с плотностями

$$S_1 = E_\varphi H_\theta, \quad S_2 = E_\theta H_\varphi \quad (21)$$

- см. рис 3.

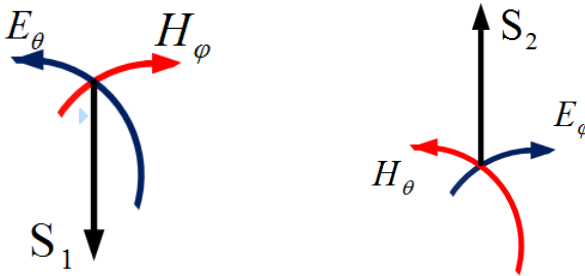


Рис. 3.

Суммарная мгновенная плотность потока в каждой точке сферы определяется из (21) и (Г3.3.5, Г3.3.6, Г3.3.8, Г3.3.9):

$$\begin{aligned} S_t &= E_\varphi H_\theta - E_\theta H_\varphi = \\ &= \frac{e_\varphi e_\theta \alpha}{\mu\omega} \cdot \sin^2(\theta) \left[\begin{aligned} &\cos(\alpha\rho)\sin(\alpha\rho)\cos^2(\omega t) - \\ &-\cos(\alpha\rho)\sin(\alpha\rho)\sin^2(\omega t) \end{aligned} \right] \end{aligned} \quad (22)$$

Но

$$\left[\cos(\alpha\rho)\sin(\alpha\rho)\cos^2(\omega t) - \left[-\cos(\alpha\rho)\sin(\alpha\rho)\sin^2(\omega t) \right] \right] = 0.5 \sin(2\alpha\rho) [\cos^2(\omega t) - \sin^2(\omega t)] = \quad (23)$$

$$= 0.5 \sin(2\alpha\rho) \cos(2\omega t) = 0.25 [\sin(2\alpha\rho - 2\omega t) + \sin(2\alpha\rho + 2\omega t)]$$

Следовательно, электромагнитный поток в данном случае представляет собой стоячую волну с плотностью

$$S_i = S_o [\sin(2\alpha\rho - 2\omega t) + \sin(2\alpha\rho + 2\omega t)], \quad (24)$$

с амплитудой

$$S_o = \frac{e_\varphi e_\theta \alpha}{4\mu\omega} \cdot \sin^2(\theta), \quad (25)$$

зависящей от координаты θ , с циклической частотой (2ω) и длиной волны

$$\lambda = \pi/\alpha. \quad (25)$$

Эта стоячая волна электромагнитной энергии существует на каждом радиусе.

Рассмотрим конус, в котором радиусы, проходящие по его образующим, составляют угол θ . На рис. 1 показано основание одного такого конуса. Стоячие волны на всех радиусах-образующих этого конуса имеют одну и ту же амплитуду.

В сфере есть круговой конус, по образующим которого поток энергии отсутствует. Радиусы, проходящие по этим образующим, составляют такой угол θ , где $\sin(\theta) = 0$. Можно заметить, что образующие такого конуса представляют собой вертикальную ось oz - см. рис. 1.

В сфере есть круговые конусы, по образующим которых поток энергии имеет максимальную амплитуду. Радиусы, проходящие по этим образующим, составляют такой угол θ , где $\sin(\theta) = 1$. Можно заметить, что образующие такого конуса лежат на горизонтальной плоскости - см. рис. 1.

На сферах такого радиуса ρ , где $\sin(2\alpha\rho) = 0$, поток равен нулю. Следовательно, если внешний радиус шаровой молнии R таков, что

$$\sin(2\alpha R) = 0 \text{ или } 2\alpha R = k\pi \text{ или } \alpha = k\pi/2R, \quad (26)$$

то шаровая молния НЕ излучает энергию.

Найдем полный поток энергии S_p в такой момент времени, когда стоячая волна имеет максимум, т.е. тогда, когда

$$[\sin(2\alpha\rho - 2\omega t) + \sin(2\alpha\rho + 2\omega t)] = 1. \quad (27)$$

Из (24, 25, 27) следует, что

$$S_p = \frac{e_\varphi e_\theta \alpha}{4\mu\omega} \cdot \int_0^{2\pi} \sin^2(\theta) \cdot d\theta = \frac{e_\varphi e_\theta \alpha}{4\mu\omega} \cdot \pi \quad (28)$$

Поскольку плотность потока (24) во времени меняется синусоидально, то модуль среднего значения этой плотности

$$S = S_p \sqrt{2} = \frac{\pi \sqrt{2}}{4} \cdot \frac{e_\varphi e_\theta \alpha}{\mu\omega} \quad (29)$$

Найдем, наконец, полный поток энергии, пульсирующей в сфере,

$$W = S \cdot \frac{4\pi R^3}{3} = \frac{\pi^2 \sqrt{2}}{3} \cdot \frac{e_\varphi e_\theta \alpha}{\mu\omega} R^3 \quad (30)$$

Пример 1. Будем полагать, что напряженность электрического поля в шаровой молнии равна 1000 В/м , т.е. $e_\varphi = e_\theta = 10^3 \text{ (В/м)}$. Пусть еще (см. приложение 1) $R = 0.1 \text{ (м)}$, $\omega = 10^6$, $\alpha = 550$. Тогда

$$W = \frac{\pi^2 \sqrt{2}}{3} \cdot \frac{10^6 \cdot 550}{4\pi 10^{-7} 10^5} 0.1^3 \approx 20 \cdot 10^6,$$

т.е. энергия шаровой молнии в этом случае равна 20 килоджоулей.

5. Об устойчивости шаровой молнии

Вопрос об устойчивости тел, в которых циркулирует поток электромагнитной энергии, рассмотрен в [3]. Здесь мы рассмотрим только силу, которая действует по диаметру и разрывает шаровую молнию по диаметральной плоскости, перпендикулярной этому диаметру. В первый момент она должна совершить работу

$$A = F \frac{dR}{dt} \quad (31)$$

Эта работа изменяет внутреннюю энергию шаровой молнии, т.е.

$$A = \frac{dW}{dt} \quad (32)$$

Рассматривая (30-32) совместно находим:

$$F = \frac{dW}{dt} \Big/ \frac{dR}{dt} \quad (33)$$

Из (30) находим:

$$\frac{dW}{dt} = \frac{dW}{dR} \frac{dR}{dt} = \frac{w_o d(R^3)}{dR} \cdot \frac{dR}{dt} = 3w_o R^2 \frac{dR}{dt} = \frac{3W}{R} \cdot \frac{dR}{dt} \quad (34)$$

Наконец, из (33, 34) находим:

$$F = \frac{3W}{R} \quad (35)$$

Таким образом, внутренняя энергия шаровой молнии эквивалентна силе, создающей устойчивость шаровой молнии.

Пример 2. Найдем скрепляющую силу при условиях примера 1. Из (35) находим:

$$F = \frac{3W}{R} = \frac{3 \cdot 20 \cdot 10^6}{0.1} = 6 \cdot 10^8 \text{ Ньютон}$$

6. О свечении шаровой молнии

Выше задача была решена без учета электрического сопротивления материала шаровой молнии. Естественно, оно не равно нулю и при протекании токов выделяется тепловая энергия. Ее величину в данный момент времени можно определить по формуле

$$P_t = \xi \int_0^R \left(\int_0^{2\pi} (J_\varphi^2 + J_\theta^2) d\theta \right) dr, \quad (36)$$

где ξ – удельная проводимость сферы. Отсюда с учетом формул (Т3.3.8, Т3.3.8) получаем:

$$\begin{aligned} P_t &= \xi \int_0^R \left(\int_0^{2\pi} \left(j_\varphi^2 \cos^2(\alpha\rho) \sin^2(\theta) \cos^2(\omega t) \right) d\theta \right) dr \\ &= \xi \left(\int_0^{2\pi} \sin^2(\theta) d\theta \right) \int_0^R \left(j_\varphi^2 \cos^2(\alpha\rho) \cos^2(\omega t) \right) dr, \end{aligned} \quad (37)$$

Положим $j_\varphi^2 = j_\theta^2 = j^2$. Тогда с учетом (Т3.3.8, Т3.3.8) найдем:

$$j^2 = \frac{e_\varphi e_\theta \alpha^4}{\mu^2 \omega^2}. \quad (38)$$

При этом из (37) получим:

$$P_t = j^2 \pi \xi \left(\int_0^R (\cos^2(\alpha \rho) \cos^2(\omega t)) dr + \int_0^R (\sin^2(\alpha \rho) \sin^2(\omega t)) dr \right) =$$

$$= j^2 \pi \xi \left(\cos^2(\omega t) \int_0^R (\cos^2(\alpha \rho)) dr + \sin^2(\omega t) \int_0^R (\sin^2(\alpha \rho)) dr \right), \quad (39)$$

или

$$P_t = j^2 \pi \xi R. \quad (40)$$

Эта тепловая энергия излучается, что и является причиной свечения шаровой молнии.

7. О времени существования шаровой молнии

Электромагнитная энергия шаровой молнии постепенно расходуется на тепловые потери и излучается. При этом амплитуды e_φ , e_θ электромагнитной волны уменьшаются. Отсюда можно найти время T существования шаровой молнии. Из (38, 40) находим:

$$P_t(t) = e_a^2(t) \frac{\alpha^4 \pi \xi R}{\mu^2 \omega^2}, \quad (41)$$

$$W(t) = e_a^2(t) \frac{\pi^2 \alpha \cdot R^3 \sqrt{2}}{3 \mu \omega}, \quad (42)$$

где

$$e_a(t) = \sqrt{e_\varphi(t) e_\theta(t)}. \quad (43)$$

Очевидно,

$$\frac{dW(t)}{dt} = -P_t(t). \quad (44)$$

Следовательно,

$$2e_a(t) \frac{d(e(t))}{dt} \frac{\pi^2 \alpha \cdot R^3 \sqrt{2}}{3 \mu \omega} = -e_a^2(t) \frac{\alpha^4 \pi \xi R}{\mu^2 \omega^2} \quad (45)$$

или

$$\frac{d(e_a(t))}{dt} = -\frac{3\alpha^3 \xi}{2\mu\omega\pi \cdot R^2 \sqrt{2}} e_a(t) \quad (46)$$

Таким образом, средняя амплитуда электромагнитных волн в сфере убывает по экспоненте вида

$$e_a(t) = E_a \exp\left(-\frac{t}{\tau}\right) \quad (47)$$

где

$$\tau = \frac{2\mu\omega\pi R^2\sqrt{2}}{3\alpha^3\xi} \quad (48)$$

Максимальное значение средней амплитуды определяется по (30) при известной первоначальной энергии W_o :

$$E_a^2 = \frac{3\mu\omega W_o}{\pi^2\alpha \cdot R^3\sqrt{2}} \quad (49)$$

При этом время существования шаровой молнии можно оценить величиной

$$T \approx 3\tau = 2\mu\omega\pi \cdot R^2\sqrt{2}/(\alpha^3\xi). \quad (50)$$

Пример 3. Найдем время существования шаровой молнии в зависимости от ее электропроводности при условиях примера 1. Из (50) находим:

$$T \approx 2 \cdot 4\pi 10^{-7} 10^5 \pi 0.1^2 \sqrt{2} / (550^3 \xi) \approx 10^{-10} / \xi \text{ сек}$$

8. О возможном механизме образования шаровой молнии

Лидер линейной молнии, встречая какое-либо препятствие, может изменить траекторию движения с прямолинейной на круговую. Это может служить причиной возникновения тех электромагнитных полей и электроотоков, которые описаны выше.

Вот как описывается этот процесс в [4]

Очередной сильнейший разряд молнии, одновременный с грохотом, осветил всё пространство. Я вижу, как длинный ослепительный луч цвета солнца приближается ко мне прямо в солнечное сплетение. Конец его острый, чем дальше, тем толще, примерно 0,5 метра в длину. Дальше я не вижу, потому что смотрю под углом вниз.

Мгновенная мысль, это конец. Я смотрю, как острие луча приближается. Вдруг оно остановилось и между острием и телом начал вспухать шар, размером с большой грейпфрут. Раздался хлопок, как при вылете пробки из бутылки шампанского. Луч влетел в шар. Я вижу ослепительно яркий шар, цвета солнца, который вращается с бешеной

скоростью, перемалывая луч внутри. Но я не чувствую ни прикосновения, ни тепла.

Шар перемалывал луч и увеличивался в размерах. ... Шар не издавал никаких звуков. Сначала он был ярким и непрозрачным, а затем начал тускнеть и я увидел, что он пуст. Его оболочка изменилась и он стал похож на мыльный пузырь. Оболочка вращалась, но ее диаметр оставался стабильным, а поверхность отливала металлом.

9. О заряде шаровой молнии

Выше приведено решение уравнений Максвелла при отсутствии заряда шаровой молнии (но существовании свободных зарядов в ее теле). В том случае, если суммарный заряд шаровой молнии не равен нулю, он входит в правую часть уравнения (Г1.3.4). При этом появляется еще одно решение этих уравнений – постоянное электрическое поле. В силу линейности уравнений Максвелла последнее решение не влияет на рассмотренное ранее. Поэтому притяжение шаровой молнии к заряженному телу не противоречит вышеизложенному.

10. О физическом моделировании шаровой молнии

В [5] описан т.н. "хранитель вечного движения". Он представляет собой ферромагнитный или железный куб, в котором циркулирует поток электромагнитной энергии. Там приводятся описания экспериментов, доказывающих возможность существования такого "хранителя вечного движения", показывается, что куб сохраняет целостность, хотя и состоит из двух частей, не связанных механически. Такой куб может служить грубой моделью "кубической молнии". Ее создание не представляет труда [5].

Одним из недостатков такой модели является то, что Ссылка описывается "хранитель вечного движения", в котором отсутствуют токи. В приложении 2 доказывается, что может существовать железная "кубическая молния", в которой текут токи. Естественно, время существования такой "кубической молнии" будет ограничено в силу тепловых потерь.

Аналогичным образом может быть построена и "железная шаровая молния". На рис. 4 показана одна полусфера этой конструкции. В диаметральных ложбинках расположены провода. Вторая полусфера располагается сверху.

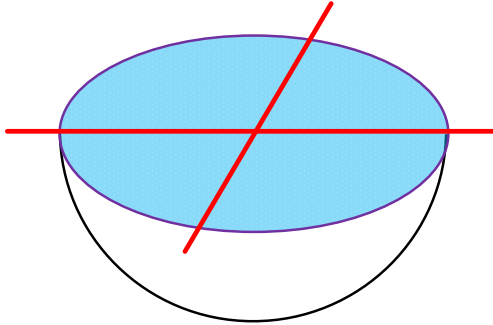


Рис. 4.

Для зарядки "железной шаровой молнии" электромагнитной энергией необходимо по диаметральному проводу пропустить высокочастотные импульсы, сдвинутые по фазе на $\pi/2$ для того, чтобы были также сдвинуты по фазе начальные значения магнитных напряженностей H_θ и H_φ - см. формулы (Г3.3.5) и (Г3.3.6). По результатам опытов, описанных в [5] можно предполагать, что после пропускания по проводу таких импульсов полусферы "склеятся".

Приложение 1. Уточнение решения

Здесь мы рассмотрим более строгое решение нашей задачи. Рассмотрим снова уравнения Максвелла (Г2.2), и подставим в них выражения для ротора и дивергенции из (Г1.4) (вместо ранее используемых менее сложных выражений (Г1.5)). Тогда получим следующие уравнения (Г4.3):

Таблица 4.

1	2	3
2.	$\text{rot}_\theta H - \varepsilon \frac{\partial E_\theta}{\partial t} - J_\theta = 0$	$-\frac{H_\varphi}{\rho} - \frac{\partial H_\varphi}{\partial \rho} - \varepsilon \frac{\partial E_\theta}{\partial t} - J_\theta = 0$
3.	$\text{rot}_\varphi H - \varepsilon \frac{\partial E_\varphi}{\partial t} - J_\varphi = 0$	$\frac{H_\theta}{\rho} + \frac{\partial H_\theta}{\partial \rho} - \varepsilon \frac{\partial E_\varphi}{\partial t} - J_\varphi = 0$
5.	$\text{rot}_\theta E - \mu \frac{\partial H_\theta}{\partial t} = 0$	$-\frac{E_\varphi}{\rho} - \frac{\partial E_\varphi}{\partial \rho} - \mu \frac{\partial H_\theta}{\partial t} = 0$
6.	$\text{rot}_\varphi E - \mu \frac{\partial H_\varphi}{\partial t} = 0$	$\frac{E_\theta}{\rho} + \frac{\partial E_\theta}{\partial \rho} - \mu \frac{\partial H_\varphi}{\partial t} = 0$

Будем (как и прежде) искать решение этих уравнений в виде следующих функций (Г3.2). Для определения неизвестных функций $Z(\rho)$, $\Gamma(\rho)$ подставим в уравнения из (Г4.3) функции (Г3.2), выполним дифференцирование по времени и сократим на общие множители. Тогда получим

$$-\frac{Z_\varphi(\rho)}{\rho} - \frac{\partial Z_\varphi(\rho)}{\partial \rho} - \varepsilon\omega e_\theta \sin(\alpha\rho) - \Gamma_\theta(\rho) = 0, \quad (4)$$

$$\frac{Z_\theta(\rho)}{\rho} + \frac{\partial Z_\theta(\rho)}{\partial \rho} + \varepsilon\omega e_\varphi \cos(\alpha\rho) - \Gamma_\varphi(\rho) = 0, \quad (5)$$

$$-e_\varphi \left[\frac{\cos(\alpha\rho)}{\rho} + \frac{\partial \cos(\alpha\rho)}{\partial \rho} \right] - \mu\omega Z_\theta(\rho) = 0, \quad (6)$$

$$e_\theta \left[\frac{\sin(\alpha\rho)}{\rho} + \frac{\partial \sin(\alpha\rho)}{\partial \rho} \right] - \mu\omega Z_\varphi(\rho) = 0, \quad (7)$$

Из (7) следует:

$$Z_\varphi(\rho) = \frac{e_\theta}{\mu\omega} \left[\frac{\sin(\alpha\rho)}{\rho} + \alpha \cos(\alpha\rho) \right], \quad (8)$$

Из (4, 8) следует:

$$\begin{aligned} \Gamma_\theta(\rho) &= -\frac{Z_\varphi(\rho)}{\rho} - \frac{\partial Z_\varphi(\rho)}{\partial \rho} - \varepsilon\omega e_\theta \sin(\alpha\rho) = \\ &= -e_\theta \left\{ \frac{1}{\mu\omega} \left[\frac{\sin(\alpha\rho)}{\rho^2} + 2\alpha \frac{\cos(\alpha\rho)}{\rho} - \alpha^2 \frac{\sin(\alpha\rho)}{\rho} \right] + \varepsilon\omega \sin(\alpha\rho) \right\}, \quad (9) \end{aligned}$$

Из (6) следует:

$$Z_\theta(\alpha\rho) = -\frac{e_\varphi}{\mu\omega} \left[\frac{\cos(\alpha\rho)}{\rho} - \alpha \sin(\alpha\rho) \right], \quad (10)$$

Из (5,10) следует:

$$\begin{aligned} \Gamma_\varphi(\rho) &= \frac{Z_\theta(\rho)}{\rho} + \frac{\partial Z_\theta(\rho)}{\partial \rho} + \varepsilon\omega e_\varphi \cos(\alpha\rho) = \\ &= -e_\varphi \left\{ \frac{1}{\mu\omega} \left[\frac{\cos(\alpha\rho)}{\rho^2} - 2\alpha \frac{\sin(\alpha\rho)}{\rho} - \alpha^2 \frac{\cos(\alpha\rho)}{\rho} \right] + \varepsilon\omega \cos(\alpha\rho) \right\}, \quad (11) \end{aligned}$$

На рис. 5 показаны графики указанных функций (8-11) при $e_\varphi = e_\theta = 1$, $\omega = 10^5$, $\alpha = 550$, $R = 2n\pi/\alpha$, $n = 25$.

Видно, что $\rho > 0.2R$ при функции (8-11) стремятся к гармоническим функциям (8-11). Следовательно, выше выполненный переход от уравнений (Г1.4) к менее сложным уравнениям (Г1.5) допустим.

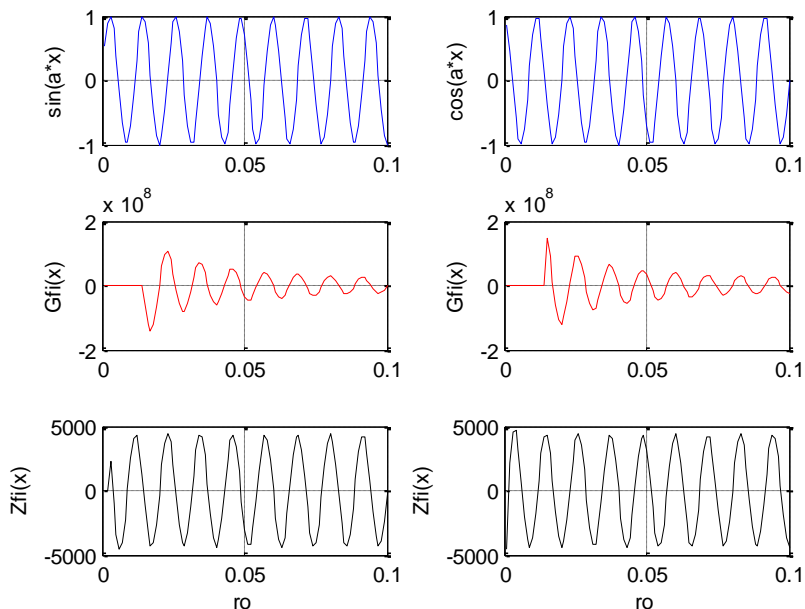


Рис. 5.

Приложение 2. "Кубическая молния"

Рассмотрим систему уравнений Максвелла в декартовой системе координат. Обозначим

- E - напряженность электрического поля,
- H - напряженность магнитного поля,
- μ - абсолютная магнитная проницаемость,
- ϵ - абсолютная диэлектрическая проницаемость,
- \mathcal{D} - электропроводность,
- φ - электрический скалярный потенциал,
- ρ - плотность электрического заряда.

Эта система уравнений имеет следующий вид:

1.	$\frac{\partial H_z}{\partial y} - \frac{\partial H_y}{\partial z} - \varepsilon \frac{\partial E_x}{\partial t} + \mathcal{G} \frac{d\varphi}{dx} = 0$	
2.	$\frac{\partial H_x}{\partial z} - \frac{\partial H_z}{\partial x} - \varepsilon \frac{\partial E_y}{\partial t} + \mathcal{G} \frac{d\varphi}{dy} = 0$	
3.	$\frac{\partial H_y}{\partial x} - \frac{\partial H_x}{\partial y} - \varepsilon \frac{\partial E_z}{\partial t} + \mathcal{G} \frac{d\varphi}{dz} = 0$	
4.	$\frac{\partial E_z}{\partial y} - \frac{\partial E_y}{\partial z} + \mu \frac{\partial H_x}{\partial t} = 0$	(1)
5.	$\frac{\partial E_x}{\partial z} - \frac{\partial E_z}{\partial x} + \mu \frac{\partial H_y}{\partial t} = 0$	
6.	$\frac{\partial E_y}{\partial x} - \frac{\partial E_x}{\partial y} + \mu \frac{\partial H_z}{\partial t} = 0$	
7.	$\frac{\partial E_x}{\partial x} + \frac{\partial E_y}{\partial y} + \frac{\partial E_z}{\partial z} - \frac{\rho}{\varepsilon} = 0$	
8.	$\frac{\partial H_x}{\partial x} + \frac{\partial H_y}{\partial y} + \frac{\partial H_z}{\partial z} = 0$	

Будем полагать, что в системе суммарный заряд равен нулю.

Рассмотрим следующие функции (предложенные в [4]):

$$E_x(x, y, z, t) = e_x \cos(\alpha x) \sin(\beta y) \sin(\gamma z) \sin(\omega t), \quad (2)$$

$$E_y(x, y, z, t) = e_y \sin(\alpha x) \cos(\beta y) \sin(\gamma z) \sin(\omega t), \quad (3)$$

$$E_z(x, y, z, t) = e_z \sin(\alpha x) \sin(\beta y) \cos(\gamma z) \sin(\omega t), \quad (4)$$

$$H_x(x, y, z, t) = h_x \sin(\alpha x) \cos(\beta y) \cos(\gamma z) \cos(\omega t), \quad (5)$$

$$H_y(x, y, z, t) = h_y \cos(\alpha x) \sin(\beta y) \cos(\gamma z) \cos(\omega t), \quad (6)$$

$$H_z(x, y, z, t) = h_z \cos(\alpha x) \cos(\beta y) \sin(\gamma z) \cos(\omega t), \quad (7)$$

$$\varphi(x, y, z, t) = \varphi_o \cos(\alpha x) \cos(\beta y) \cos(\gamma z) \cos(\omega t). \quad (8)$$

где

$e_x, e_y, e_z, h_x, h_y, h_z, \varphi_o$ - амплитуды функций,

$\alpha, \beta, \lambda, \omega$ - константы.

Дифференцируя и подставляя (2-9) в (1) после сокращения на общие множители, получаем:

1.	$h_z\beta - h_y\gamma - e_x\varepsilon\omega + \varphi_{ox}\vartheta\alpha = 0$	(10)
2.	$h_x\gamma - h_z\alpha - e_y\varepsilon\omega + \varphi_{oy}\vartheta\beta = 0$	
3.	$h_y\alpha - h_x\beta - e_z\varepsilon\omega + \varphi_{oz}\vartheta\gamma = 0$	
4.	$e_z\beta - e_y\gamma + h_x\mu\omega = 0$	
5.	$e_x\gamma - e_z\alpha + h_y\mu\omega = 0$	
6.	$e_y\alpha - e_x\beta + h_z\mu\omega = 0$	
7.	$e_x\alpha + e_y\beta + e_z\gamma = 0$	
8.	$h_x\alpha + h_y\beta + h_z\gamma = 0$	

Если $\alpha = \beta = \lambda$, то система уравнений (9) принимает вид:

1.	$h_z - h_y - e_x\varepsilon\omega/\alpha + J_x = 0$	(11)
2.	$h_x - h_z - e_y\varepsilon\omega/\alpha + J_y = 0$	
3.	$h_y - h_x - e_z\varepsilon\omega/\alpha + J_z = 0$	
4.	$e_z - e_y + h_x\mu\omega/\alpha = 0$	
5.	$e_x - e_z + h_y\mu\omega/\alpha = 0$	
6.	$e_y - e_x + h_z\mu\omega/\alpha = 0$	
7.	$e_x + e_y + e_z = 0$	
8.	$h_x + h_y + h_z = 0$	

Эта система 8-ми уравнений с 9-ю неизвестными имеет множество решений.

Рассмотрим частный случай. Пусть $h_z = 0$. Тогда эта система уравнений принимает вид:

1.	$-e_x\varepsilon\omega/\alpha - h_y + J_x = 0$	(13)
2.	$-e_y\varepsilon\omega/\alpha + h_x + J_y = 0$	
3.	$-e_z\varepsilon\omega/\alpha - h_x + h_y + J_z = 0$	
4.	$-e_y + e_z + h_x\mu\omega/\alpha = 0$	

5.	$e_x - e_z + h_y \mu \omega / \alpha = 0$	
6.	$-e_x + e_y = 0$	
7.	$e_x + e_y + e_z = 0$	
8.	$h_x + h_y = 0$	

Избавимся от неизвестных $h_x = -h_y$ и $e_y = e_x$. Тогда получим 6 уравнений с 6-ю неизвестными:

1.	$-e_x \varepsilon \omega / \alpha - h_y + J_x = 0$	
2.	$-e_x \varepsilon \omega / \alpha - h_y + J_y = 0$	
3.	$-e_z \varepsilon \omega / \alpha + 2h_y + J_z = 0$	
4.	$-e_x + e_z - h_y \mu \omega / \alpha = 0$	(14)
5.	$e_x - e_z + h_y \mu \omega / \alpha = 0$	
7.	$2e_x + e_z = 0$	

Из 1, 2 следует, что $J_y = J_x$. Избавимся еще от $e_z = -2e_x$. Тогда получим:

1.	$-e_x \varepsilon \omega / \alpha - h_y + J_x = 0$	
3.	$2e_x \varepsilon \omega / \alpha + 2h_y + J_z = 0$	
4.	$-3e_x - h_y \mu \omega / \alpha = 0$	(15)
5.	$3e_x + h_y \mu \omega / \alpha = 0$	

Из 1, 3 следует, что $J_z = -2J_x$. Тогда получим:

1.	$-e_x \varepsilon \omega / \alpha - h_y + J_x = 0$	
5.	$3e_x + h_y \mu \omega / \alpha = 0$	(16)

Итак, решение имеет вид:

$$e_y = e_x, \quad (21)$$

$$e_z = -2e_x, \quad (22)$$

$$h_y = -\frac{3e_x \alpha}{\mu \omega}, \quad (23)$$

$$h_x = -h_y, \quad (24)$$

$$h_z = 0, \quad (25)$$

$$J_x = e_x \mathcal{E} \omega / \alpha + h_y = e_x \left(\frac{\mathcal{E} \omega}{\alpha} - \frac{3\alpha}{\mu \omega} \right), \quad (26)$$

$$J_y = J_x, \quad (27)$$

$$J_z = -2J_x. \quad (28)$$

Следовательно,

$$J_x + J_y + J_z = 0 \quad (29)$$

Таким образом, при данном e_x и $h_z = 0$ могут быть найдены остальные неизвестные.

Найдем проекции вектора плотности потока энергии

$$\begin{aligned} S_x &= E_y H_z + E_z H_y = E_z H_y = \\ &= e_z h_y \sin(\alpha x) \cos(\alpha x) \sin^2(\beta y) \cos^2(\gamma z) \sin(\omega t) \cos(\omega t) = \\ &= \frac{e_z h_y}{4} \sin(2\alpha x) \sin^2(\beta y) \cos^2(\gamma z) \sin(2\omega t), \end{aligned}$$

$$\begin{aligned} S_y &= E_x H_z + E_z H_x = E_z H_x = \\ &= e_z h_x \sin^2(\alpha x) \sin(\beta y) \cos(\beta y) \cos^2(\gamma z) \sin(\omega t) \cos(\omega t) = \\ &= \frac{e_z h_y}{4} \sin^2(\alpha x) \sin(2\beta y) \cos^2(\gamma z) \sin(2\omega t), \end{aligned}$$

$$\begin{aligned} S_z &= E_x H_y - E_y H_x = \\ &= e_x h_y \cos^2(\alpha x) \sin^2(\beta y) \cos(\gamma z) \sin(\gamma z) \sin(\omega t) \cos(\omega t) - \\ &- e_y h_x \sin^2(\alpha x) \cos^2(\beta y) \sin(\gamma z) \cos(\gamma z) \sin(\omega t) \cos(\omega t) = \\ &= \frac{1}{4} \left[e_x h_y \cos^2(\alpha x) \sin^2(\beta y) - \right. \\ &\left. - e_y h_x \sin^2(\alpha x) \cos^2(\beta y) \right] \sin(2\gamma z) \sin(2\omega t). \end{aligned}$$

Учитывая (21) и (24), получаем:

$$S_z = \frac{e_x h_y}{4} \left[\cos^2(\alpha x) \sin^2(\beta y) - \right. \\ \left. - \sin^2(\alpha x) \cos^2(\beta y) \right] \sin(2\gamma z) \sin(2\omega t).$$

Таким образом, в электропроводном кубе может сохраняться электромагнитная энергия и пульсировать электротоки. Поскольку такой куб имеет электросопротивление, энергия в нем будет

расходоваться на тепловые потери и механическая целостность такого куба через некоторое время будет нарушена.

Литература

1. Капица П.А. О природе шаровой молнии. ДАН СССР 1955. Том 1.
2. http://www.wikiznanie.ru/ru-wz/index.php/Шаровая_молния
3. Хмельник С. И. К вопросу о внутриядерных силах. «Доклады независимых авторов», изд. «ДНА», ISSN 2225-6717, Россия – Израиль, 2014, вып. 27, ISBN 978-1-312-19894-4, printed in USA, Lulu Inc., ID 14739921; <http://vixra.org/pdf/1405.0296v2.pdf>
4. Анатолий Мякеляйнен (Финляндия), Валерий Буераков (Украина). Полет на шаровой молнии, https://drive.google.com/file/d/0B4rZDrYTbG_pMFZ1RFNOd2hSTDA/edit
5. Хмельник С. И. К теории хранителя вечного движения. «Доклады независимых авторов», изд. «ДНА», ISSN 2225-6717, Россия – Израиль, 2013, вып. 23, ISBN 978-1-300-55019-8, printed in USA, Lulu Inc., ID 13514159; <http://vixra.org/abs/1404.0086>
6. Хмельник С.И. Вариационный принцип экстремума в электромеханических и электродинамических системах. Publisher by “MiC”, printed in USA, Lulu Inc., ID 1769875, Израиль, 2008, ISBN 978-0-557-04837-3.